

основанные на использовании экспериментальных данных. При небольшом увеличении числа ступеней, необходимом для сохранения условия оптимальности каскада, выигрыши в производительности при переходе от симметричной схемы к несимметричной с $\theta = 2/3$ составляет $\sim 74\%$, а энергетические затраты на единицу продукта, характеризуемые отношением S/P , снижаются более чем на 40%. Приведенные результаты показывают целесообразность использования несимметричных масс-диффузионных каскадов с $\theta > 1/2$.

УДК 621.039.512

Экранирование активационных детекторов гадолинием

КУЛИКОВ В. И., ЛОМАКИН С. С., ТАРАТУЛОВ В. П.

Активационный метод в настоящее время широко применяется для измерения параметров поля нейтронов в ядерных реакторах. В частности, можно получить информацию о спектре нейтронов, если использовать детекторы, содержащие ^{176}Lu , ^{151}Eu , ^{164}Dy , ^{54}Mn и резонансные детекторы.

Однако для очень важной области энергии, так называемой переходной (область перехода теплового спектра в надтепловой), практически отсутствуют активационные детекторы, обеспечивающие необходимую точность измерений. Следует отметить, что значение переходной области энергии весьма велико для топлива, содержащего плутоний, так как в нее попадает резонанс ^{239}Pu .

Для получения информации о спектре нейтронов в переходной области энергии можно применять ряд активационных детекторов, помещенных в соответствующие экранирующие (поглощающие нейтроны) фильтры. К настоящему времени выполнены некоторые работы по определению

СПИСОК ЛИТЕРАТУРЫ

- Чужинов В. А. и др. «Атомная энергия», 1978, т. 44, вып. 3, с. 254.
- Джанджава Б. Ш. и др. «Атомная энергия», 1978, т. 45, вып. 2, с. 129.

Поступило в Редакцию 04.10.79

нию параметров, характеризующих фильтры и экранированные детекторы [1–3]. Однако имеющиеся данные [4] ограничены несколькими нейтронно-чувствительными элементами и областью температуры нейтронов до 200 °C, что затрудняет применение экранированных детекторов в реакторах АЭС.

Используя тот или иной материал фильтра, можно изменить ход сечения активации детекторов в тепловой области, усилив тем самым вклад надтепловых нейтронов или нейтронов переходной области энергии. В этом смысле особенно благоприятно применение метода «серых» фильтров ($\Sigma_{акт} t_\Phi = 1$, где t_Φ — толщина фильтра) из гадолиния. Если в сочетании с такими фильтрами применять ^{176}Lu , ^{151}Eu , ^{164}Dy , ^{103}Rh , ^{115}In , то нейтронная чувствительность детекторов оказывается увеличенной именно в переходной области энергии. Для практической реализации метода необходимы эффективные сечения экранированных фильтрами детекторов.

Таблица 1

Параметры $g(T)$ и $s(T)$ для детекторов с фильтрами из гадолиния

Температура нейтронов, °C	^{164}Dy		^{176}Lu		^{103}Rh		^{151}Eu	
	g	s	g	s	g	s	g	s
20	1,569	2,980	1,151	16,465	1,766	63,194	1,217	9,981
120	2,071	2,282	9,553	4,015	2,469	72,032	1,462	11,811
220	2,508	1,641	13,695	—4,669	3,146	80,208	1,748	12,963
320	2,875	1,097	17,033	—9,494	3,785	88,459	2,122	13,326
420	3,181	0,646	19,488	—12,079	4,387	97,226	2,614	12,910
520	3,434	0,271	21,086	—13,277	4,960	106,564	3,228	11,735
620	3,644	—0,036	22,089	—13,683	5,515	116,437	3,943	9,908
720	3,817	—0,291	22,617	—13,548	6,066	125,430	4,732	7,655
820	3,960	—0,500	22,796	—13,065	6,632	134,004	5,563	5,246
920	4,079	—0,673	22,726	—12,365	7,233	141,618	6,409	3,006

Таблица 2

Значения относительной чувствительности спектрального индекса ε

Условия облучения	$r = 0,1$				$r = 0,15$				$r = 0,2$			
	^{164}Dy	^{176}Lu	^{103}Rh	^{151}Eu	^{164}Dy	^{176}Lu	^{103}Rh	^{151}Eu	^{164}Dy	^{176}Lu	^{103}Rh	^{151}Eu
С фильтром из гадолиния	0,22	0,38	0,18	0,18	0,17	0,23	0,16	0,17	0,15	0,12	0,14	0,16
Без фильтра	—0,02	0,24	0,07	—0,06	—0,03	0,17	0,08	—0,05	—0,04	0,10	0,08	—0,04

Эффективные сечения рассчитывали с учетом конечных размеров детекторов в виде плоских дисков в капсулах-фильтрах и фильтров по методике, изложенной в работе [5]. Эффективная толщина фильтра из гадолиния составляла 8,26 мкм, толщина и диаметр детекторов соответственно — 0,1 и 7,8 мм.

На основе полученных эффективных сечений рассчитаны параметры $g(T)$ и $s(T)$ (табл. 1), определяющие эффективное сечение в модели Весткотта [6]. Расчеты проведены до температуры 920 °С.

Таблица 3

Зависимость ε от T при $r=0,1$

T °C	С фильтром				Без фильтра			
	^{176}Lu	^{103}Rh	^{151}Eu	^{164}Dy	^{176}Lu	^{103}Rh	^{151}Eu	^{164}Dy
200	0,80	0,31	0,31	0,38	0,45	0,13	-0,10	-0,05
400	1,55	0,63	0,68	0,69	0,78	0,29	-0,12	-0,10
600	1,90	0,95	1,02	0,85	0,91	0,40	-0,13	-0,14
800	1,98	1,37	1,50	0,96	0,90	0,45	—	-0,17

Таблица 4

Значения относительной чувствительности спектрального индекса ε при изменении r от 0,1 до 0,2

Условия облучения	$T = 320^\circ\text{C}$			$T = 720^\circ\text{C}$				
	^{164}Dy	^{176}Lu	^{103}Rh	^{151}Eu	^{164}Dy	^{176}Lu	^{103}Rh	^{151}Eu
С фильтром из гадолиния	0,19	0,60	0,40	0,10	0,35	0,84	0,22	0,54
Без фильтра	0,04	0,32	-0,03	-0,05	0,08	0,40	-0,07	—

Таблица 5

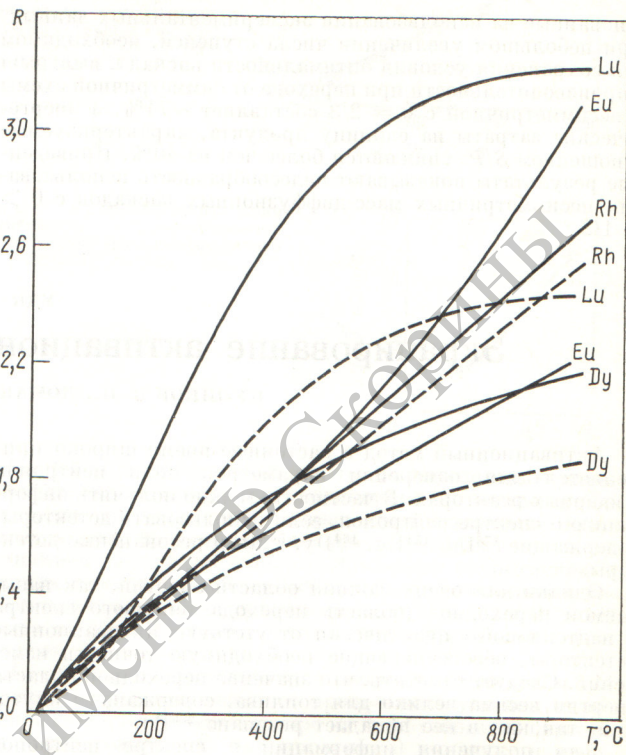
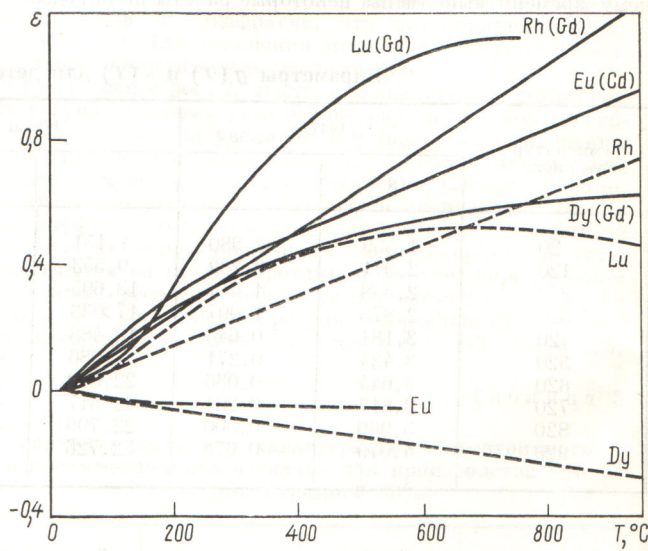
Зависимость ε от r при 320°C

r	С фильтром		Без фильтра	
	^{176}Lu	^{103}Rh	^{176}Lu	^{103}Rh
0,05	1,60	0,60	0,89	0,14
0,10	1,24	0,49	0,70	0,20
0,15	0,94	0,42	0,51	0,22
0,20	0,70	0,35	0,35	0,23

Таблица 6

Зависимость ε от r при 720°C

r	С фильтром		Без фильтра	
	^{176}Lu	^{103}Rh	^{176}Lu	^{103}Rh
0,05	—	1,37	1,43	0,40
0,10	1,90	1,16	0,92	0,50
0,15	1,46	1,10	0,70	0,53
0,20	1,08	0,91	0,46	0,55

Рис. 1. Зависимость нормированной скорости реакции R от температуры нейтронов для детекторов с фильтрами при $r = 0,1$ и $r = 0,2$ Рис. 2. Зависимость ε от T для детекторов из ^{176}Lu , ^{103}Rh , ^{164}Dy и ^{151}Eu с фильтрами и без фильтров при $r = 0,2$

Применение фильтров из гадолиния вызывает у всех рассмотренных детекторов увеличение чувствительности к изменению температуры нейтронов. На рис. 1 показана зависимость нормированной скорости реакций для детекторов с фильтрами от температуры нейтронов в спектрах с различной жесткостью:

$$R = \frac{g(T) + rs(T)}{g(T_0) + rs(T_0)}$$

где $T_0 = 20^\circ\text{C}$; r — доля надтепловых нейтронов.

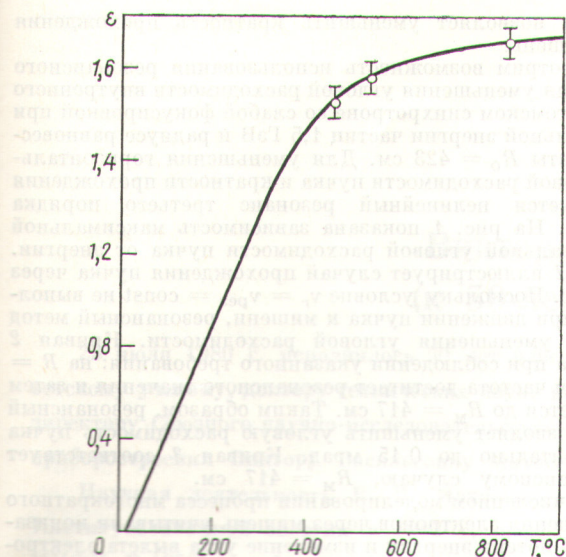


Рис. 3. Зависимость ε от T для детектора из ^{176}Lu в фильтре из гадолиния

Выбор детекторов с фильтрами для измерений в спектрах с различной жесткостью удобно проводить, ориентируясь на значение относительной чувствительности спектрального индекса ε к температуре нейтронов:

$$\varepsilon = \frac{I_{\text{Cu}}^N(T) - I_{\text{Cu}}^N(20^\circ)}{I_{\text{Cu}}^N(20^\circ)},$$

где

$$I_{\text{Cu}}^N(T) = \frac{g^N(T) + rs^N(T)}{g^{\text{Cu}}(T) + rs^{\text{Cu}}(T)}.$$

Здесь N — символ нейтронно-чувствительного элемента (^{176}Lu , ^{103}Rh , ^{164}Dy , ^{181}Eu), который используется с фильтром или без фильтра; индекс Cu относится к детектору из меди, применяемому как $1/v$ -детектор.

В табл. 2 приведены рассчитанные значения ε при разности температуры 100°C для различных детекторов, один из которых является медным (без фильтра). В табл. 3 представлены значения ε для этих же элементов при разной температуре. На рис. 2 показана зависимость ε от температуры при $r = 0,2$.

В целях проверки расчетных значений измерили ε для ^{176}Lu в гадолиниевом фильтре. Детекторы с фильтрами и без фильтров облучали одновременно. Размеры фильтров и детекторов соответствовали приведенным выше значениям. Как видно из рис. 3, имеется хорошее согласие с результатами расчета.

Экранировка детекторов гадолиниевыми фильтрами также значительно увеличивает чувствительность детекторов к изменению параметра r . В табл. 4 показано изменение ε , рассчитанное для фиксированной температуры нейтронов, в табл. 5, 6 приведены значения ε , рассчитанные для различных r .

Анализ полученных результатов показывает, что применение экранированных гадолиниевыми фильтрами детекторов дает возможность в широком диапазоне измерять температуру нейтронов, а также над тепловой параметр r с погрешностью в два раза меньшей, чем в случае использования детекторов без фильтров. Это вытекает из учета вклада погрешности измерения спектрального индекса в общую погрешность измерения T или r .

Приведенные зависимости позволяют осуществлять выбор необходимых детекторов для конкретных измерений в реакторах АЭС.

СПИСОК ЛИТЕРАТУРЫ

- Hickman G., Leng W. «Nucl. Sci. Engng», 1962, N 12, p. 523.
- Stoughton R., Halperin I. Ibid., 1963, N 15, p. 314.
- Brown H., Conolly T. Ibid., 1966, N 24, p. 6.
- Albert D., Schumann P. Determination of Thermal Neutron Spectrum by Means of Activation Foils and Comparison with Theory. ZfK-RN156, 1968.
- Schumann P. Integrale Neutronenspektrometrie mit simulierten Nicht-1/v-Aktivierungsindikatoren. ZfK-196, 1969.
- Westcott C. e.a. In: Proc. of the Intern. Conf. on the Peaceful Uses of Atomic Energy. N.Y. United Nations, 1958, A/Conf. 15/P202.

Поступило в Редакцию 04.10.79

УДК 621.384.612.12

Уменьшение угловой расходимости внутреннего электронного пучка синхротрона

ЕСИНА З. Н., КАЛИНИН Б. Н.

В последнее время значительное внимание привлекают эффекты, сопровождающие прохождение заряженных частиц высокой энергии через монокристаллы, — канализование заряженных частиц и когерентное тормозное излучение. Для исследования и практического применения этих эффектов необходимо малая угловая расходимость внутреннего электронного пучка, не превышающая $10^{-4} - 10^{-5}$ рад. В настоящей работе на примере томского синхротрона проанализированы возможности уменьшения начальной угловой расходимости пучка электронов на мишени и кратности прохождения электронов через тонкую кристаллическую мишень. Для проведения экспериментов с внутренним пучком электронов в синхротроне осуществляется сброс частиц на мишень. Горизонтальная угловая расходимость пучка на мишени зависит от скорости смещения частиц по радиусу, которая пропорциональна потере энергии на синхротронное излучение. Для умень-

шения угловой расходимости пучка на мишени предлагается использовать группировку частиц по фазам при прохождении через нелинейные резонансы бетатронных колебаний. При частоте $v \rightarrow v_{\text{рез}} = p/q$, где p, q — целые числа, q — порядок резонанса, фазы бетатронных колебаний $\Phi \rightarrow \pi/2q$ (предполагается, что отсутствует нелинейность магнитного поля — кубичная и более высокого порядка, оказывающая стабилизирующую действие на амплитуды бетатронных колебаний [1]). Вследствие группировки частиц по фазам максимум колебаний приходится на один и тот же азимут, при этом горизонтальная угловая расходимость пучка стремится к нулю. Наиболее эффективно частицы группируются по фазам при медленном прохождении через резонанс, т. е. за время $t \gg T_\phi$, где T_ϕ — период синхротронных колебаний. Время прохождения через резонанс можно увеличить, расширив резонансную радиальную вблизи мишени [2]. Технически это